

14,15

Формирование вихревых течений в жидкокристаллических фазах инкапсулированных в микролитровые объемы под действием сфокусированного лазерного излучения

© А.В. Захаров

Институт проблем машиноведения РАН,
Санкт-Петербург, Россия

E-mail: alexandre.zakharov@yahoo.ca

(Поступила в Редакцию 17 января 2018 г.)

Предложено теоретическое описание процесса формирования вихревых течений $\mathbf{v}(t, \mathbf{r})$ и эволюции поля директора $\hat{\mathbf{n}}$ в микролитровых жидкокристаллических (ЖК) объемах со свободной поверхностью под действием градиента температуры $\nabla T(t, \mathbf{r})$, инициируемого сфокусированным лазерным излучением. В рамках нелинейного обобщения классической теории Эриксона–Лесли учтены термомеханические вклады как в тензор напряжений, так и в вязкий момент, действующие на единицу объема ЖК-фазы, что позволило описать зарождение и формирование вихревых потоков в нематиках, образованных молекулами 4-н-пентил-4'-цианобифенила. Численными методами были исследованы различные гидродинамические режимы формирования вихрей в микролитровых ЖК-объемах под действием сфокусированного лазерного излучения.

Работа выполнена при финансовой поддержке РФФИ (грант № 16-02-00041а).

DOI: 10.21883/FIT.2018.07.46135.011

1. Введение

Наряду с широким использованием жидких кристаллов (ЖК) в производстве ЖК-дисплеев другой не менее интригующей областью применения ЖК является микро- и нанофлуидика, т. е., наука о движении молекулярной жидкости в микро- и наноразмерных каналах и капиллярах. Молекулярные жидкости инкапсулированные в микро- и нанолитровые объемы находят применение в разнообразных сенсорах и датчиках используемых в биотехнологических приложениях, медицине и фармакологии, а также в иммерсионной литографии. Методы микро- и нанофлуидики находят также применение при исследовании процессов транспортировки и сортировки нанолитровых капель жидкости и ЖК в разветвленных каналах и капиллярах (lab-on-chip-system) под действием электрического поля (электрокинетика) [1]. Еще один из путей манипулирования такими молекулярными системами — это формирование градиентов поверхностного натяжения (ГПН) на границах раздела жидкость/газ и жидкость/твердое тело [2]. Было показано, что разность ГПН инициируемая локализованным разогревом способна привести в движение микролитровые капли молекулярной жидкости в микролитровых капиллярах [3]. Также недавно был предложен новый метод транспортировки микролитровых ЖК-капель инкапсулированных в микролитровые каналы и капилляры под действием градиента температуры, создаваемого за счет разности температур на ограничивающих поверхностях [4,5]. А принимая во внимание тот факт, что такая разновидность ЖК-систем, как лиотропные ЖК, составляют основу многих сложных биологических ор-

ганизмов [6,7], то возможность манипулирования такими биосистемами посредством локального формирования градиентов температуры открывает новые перспективы в биотехнологических приложениях. В свою очередь, локальный разогрев микролитровой ЖК-системы (ЖК-капельки) возможен с помощью лазерного излучения сфокусированного как в объеме ЖК-фазы [3,5], так и на свободной границе раздела ЖК-фаза/воздух [8]. Наличие свободной ограничивающей поверхности в таких ЖК-системах влияет на характер переориентации поля директора и формирование вихревых потоков под действием сфокусированного лазерного излучения [9]. Было показано, что основным физическим механизмом ответственным за возникновение гидродинамических потоков в ЖК-системах инкапсулированных в микролитровые каналы и капилляры является взаимодействие градиентов поля директора ЖК-фазы и температуры [4,10]. Если локальный градиент температуры в объеме такой ЖК-фазы легко формируется с помощью сфокусированного лазерного излучения, то градиент поля директора удается сформировать посредством гибридной ориентации ЖК-фазы на ограничивающих поверхностях. В случае ЖК-фазы со свободной поверхностью на границе раздела ЖК-фаза/воздух всегда формируется гомеотропная ориентация молекул образующих ЖК-систему [11]. Таким образом, гибридная ориентация поля директора внутри микролитровой ЖК-ячейки со свободной границей раздела может быть достигнута посредством планарной ориентации молекул ЖК-фазы вдоль нижней и боковых ограничивающих поверхностей. Таким образом, все это указывает на то, что существует возможность немеханической транспортировки или сортировки мик-

ролитровых объемов ЖК-фазы под действием сфокусированного лазерного излучения. Поэтому для того, чтобы эффективно манипулировать микрогазными объемами жидкости (капельками), необходимо изучить влияние внешних сил как на структурные, так и на динамические свойства таких систем.

Целью нашего исследования является описание эволюции поля директора $\hat{\mathbf{n}}$ и формирование вихревых потоков $\mathbf{v}(t, \mathbf{r})$ в микролитровых ЖК-ячейках со свободной поверхностью под действием градиента температуры $\nabla T(t, \mathbf{r})$, инициируемого сфокусированным лазерным излучением. Эти исследования будут проведены в рамках нелинейного обобщения классической теории Эриксона–Лесли [12,13], с учетом не только баланса массы, импульсов и угловых моментов действующих на единицу объема ЖК-фазы, но и с учетом баланса энтропии [14]. При этом будут учтены термомеханические вклады как в полную диссипационную функцию Релея, так и в баланс моментов [4,10]. Численными методами будут исследованы различные гидродинамические режимы формирования вихрей в микрогазных ЖК-каналах под действием сфокусированного лазерного излучения.

2. Основные гидродинамические уравнения

Рассмотрим длинную прямоугольную ЖК-ячейку с размерами $2L$ и $2d$ ($L \gg d$), ограниченную нижней твердой горизонтальной и двумя вертикальными поверхностями, в то время как сверху ЖК-фаза граничит с воздухом. Допустим, что директор $\hat{\mathbf{n}} = n_x \hat{\mathbf{i}} + n_z \hat{\mathbf{k}}$ все время находится в плоскости XZ и при этом планарно ориентирован на нижней горизонтальной и двух вертикальных поверхностях и гомеотропно на свободной поверхности, граничащей с воздухом. Таким образом, мы имеем дело с гибридно-ориентированной ЖК(ГОЖК)-фазой, характеризующейся сильным сцеплением ЖК-молекул с ограничивающими поверхностями. В дальнейшем будем считать, что система координат отсчитывается от середины ЖК-ячейки так, что ось X и орт $\hat{\mathbf{i}}$ совпадают с направлением директора на нижней горизонтальной поверхности ($\hat{\mathbf{i}} \parallel \hat{\mathbf{n}}_{z=-d}$), в то время как ось Z и орт $\hat{\mathbf{k}}$ направлены ортогонально ($\hat{\mathbf{k}} \perp \hat{\mathbf{n}}_{z=-d}$), а орт $\hat{\mathbf{j}} = \hat{\mathbf{k}} \times \hat{\mathbf{i}}$. Таким образом, в объеме ЖК-фазы формируется градиент поля директора $\nabla \hat{\mathbf{n}}$. При этом верхняя, изначально горизонтальная свободная поверхность раздела ЖК фаза/воздух под действием лазерного излучения деформируется, и эта деформация характеризуется кривизной κ , а также нормалью \mathbf{v} и единичным касательным вектором $\hat{\mathbf{t}}$. Под действием лазерного излучения в исследуемой среде возникает градиент температуры ∇T , который взаимодействует с градиентом поля директора $\nabla \hat{\mathbf{n}}$. Ранее нами было показано, что учет термомеханических вкладов как в тензор напряжений, так и в вязкий момент, действующих

на единицу объема ЖК-фазы, приводит к формированию гидродинамических потоков в ЖК-ячейках [4]. Таким образом, вследствие формирования гидродинамического течения \mathbf{v} в ЖК-ячейке под действием лазерного излучения происходит переориентация поля директора $\hat{\mathbf{n}}$, которая может быть описана в рамках обобщенной теории Эриксона–Лесли [12,13], учитывающей баланс массы, импульсов, угловых моментов и энтропии [4,5]. Принимая во внимание микроскопические размеры ЖК-канала мы можем предположить, что плотность ρ ЖК-системы постоянна и мы имеем дело с несжимаемой жидкостью. Это позволяет нам записать уравнения сохранения в виде [4,5,9]

$$\nabla \cdot \mathbf{v} = 0, \quad (1)$$

$$\mathbf{T}_{\text{el}} + \mathbf{T}_{\text{vis}} + \mathbf{T}_{\text{tm}} = 0, \quad (2)$$

$$\rho \frac{d\mathbf{v}}{dt} = \nabla \cdot \boldsymbol{\sigma}, \quad (3)$$

где $\mathbf{T}_{\text{el}} = \frac{\delta \mathcal{W}_{\text{el}}}{\delta \hat{\mathbf{n}}} \hat{\mathbf{n}}$ — упругий, $\mathbf{T}_{\text{vis}} = \frac{\delta \mathcal{R}^{\text{vis}}}{\delta \hat{\mathbf{n}}} \hat{\mathbf{n}}$ — вязкий и $\mathbf{T}_{\text{tm}} = \frac{\delta \mathcal{R}^{\text{tm}}}{\delta \hat{\mathbf{n}}} \hat{\mathbf{n}}$ термомеханический вклады в баланс моментов действующих на единицу объема ЖК-фазы. Здесь $\boldsymbol{\sigma} = \boldsymbol{\sigma}_{\text{el}} + \boldsymbol{\sigma}_{\text{vis}} + \boldsymbol{\sigma}_{\text{tm}} + \boldsymbol{\sigma}_{\text{th}} - P \boldsymbol{\mathcal{E}}$ — тензор напряжений, состоящий из упругого $\boldsymbol{\sigma}^{\text{el}} = -\frac{\delta \mathcal{W}_{\text{el}}}{\delta \nabla \hat{\mathbf{n}}} (\nabla \hat{\mathbf{n}})^T$, вязкого $\boldsymbol{\sigma}^{\text{vis}} = \frac{\delta \mathcal{R}^{\text{vis}}}{\delta \nabla \mathbf{v}}$, термомеханического $\boldsymbol{\sigma}^{\text{tm}} = \frac{\delta \mathcal{R}^{\text{tm}}}{\delta \nabla \mathbf{v}}$ и термического $\boldsymbol{\sigma}^{\text{th}} = \frac{\delta \mathcal{R}^{\text{th}}}{\delta \nabla \mathbf{v}}$ вкладов соответственно, P — гидростатическое давление в ЖК-системе и $\boldsymbol{\mathcal{E}}$ — единичный тензор. Выражение для полной диссипационной функции Релея имеет вид $\mathcal{R} = \mathcal{R}^{\text{vis}} + \mathcal{R}^{\text{tm}} + \mathcal{R}^{\text{th}}$, в то время как плотность упругой энергии может быть записана в виде $2\mathcal{W}_{\text{el}} = K_1 (\nabla \hat{\mathbf{n}})^2 + K_3 (\hat{\mathbf{n}} \nabla \hat{\mathbf{n}})^2$, где K_1 и K_3 — коэффициенты упругости Франка соответствующие поперечному и продольному изгибам. Выражение для вязкого вклада в диссипационную функцию Релея имеет вид $\mathcal{R}^{\text{vis}} = \alpha_1 (\hat{\mathbf{n}} \mathbf{D}_s \hat{\mathbf{n}})^2 + \gamma_1 (\hat{\mathbf{n}}_t - \mathbf{D}_a \hat{\mathbf{n}})^2 + 2\gamma_2 (\hat{\mathbf{n}}_t - \mathbf{D}_a \hat{\mathbf{n}}) \times (\mathbf{D}_s \hat{\mathbf{n}} - (\hat{\mathbf{n}} \mathbf{D}_s \hat{\mathbf{n}}) \hat{\mathbf{n}}) + \alpha_4 \mathbf{D}_s : \mathbf{D}_s + (\alpha_5 + \alpha_6) (\hat{\mathbf{n}} \mathbf{D}_s \mathbf{D}_s \hat{\mathbf{n}})$, в то время как термомеханический и термический вклады в диссипационную функцию Релея могут быть записаны в виде $\frac{1}{\xi} \mathcal{R}^{\text{tm}} = (\hat{\mathbf{n}} \nabla T) \mathbf{D}_s : \mathbf{M} + \nabla T \mathbf{D}_s \mathbf{M} \hat{\mathbf{n}} + (\hat{\mathbf{n}} \nabla T) \times (\hat{\mathbf{n}}_t - \mathbf{D}_a \hat{\mathbf{n}} - 3\mathbf{D}_s \hat{\mathbf{n}} + 3(\hat{\mathbf{n}} \mathbf{D}_s \hat{\mathbf{n}}) \hat{\mathbf{n}}) \mathbf{M} \hat{\mathbf{n}} + \hat{\mathbf{n}} (\nabla \mathbf{v})^T \mathbf{M} \nabla T + \frac{1}{2} (\hat{\mathbf{n}} \mathbf{D}_s \hat{\mathbf{n}}) \nabla T \mathbf{M} \hat{\mathbf{n}} + \hat{\mathbf{n}}_t \mathbf{M} \nabla T + \frac{1}{2} \mathcal{M}_0 \nabla T \nabla \mathbf{v} \hat{\mathbf{n}} + (\hat{\mathbf{n}} \nabla T) \mathcal{M}_0 \times (\hat{\mathbf{n}} \mathbf{D}_s \hat{\mathbf{n}}) + \frac{1}{2} \mathcal{M}_0 \hat{\mathbf{n}}_t \nabla T$ и $\mathcal{R}^{\text{th}} = \frac{1}{T} (\lambda_{\parallel} (\hat{\mathbf{n}} \nabla T))^2 + \lambda_{\perp} \times (\nabla T - \hat{\mathbf{n}} (\hat{\mathbf{n}} \nabla T))^2$ соответственно. Здесь $\alpha_1 - \alpha_6$ — коэффициенты вязкости Лесли, γ_1 и γ_2 — коэффициенты вращательной и сдвиговой вязкости соответственно, ξ — термомеханическая постоянная, λ_{\parallel} и λ_{\perp} — коэффициенты теплопроводности ЖК-фазы, соответствующие параллельному и перпендикулярному направлению директора соответственно. Симметричный и антисимметричный вклады в тензор градиента скорости принимают вид $2\mathbf{D}_s = \nabla \mathbf{v} + (\nabla \mathbf{v})^T$ и $2\mathbf{D}_a = \nabla \mathbf{v} - (\nabla \mathbf{v})^T$ соответственно, тензор $2\mathbf{M} = \nabla \hat{\mathbf{n}} + (\nabla \hat{\mathbf{n}})^T$, и $\mathcal{M}_0 = \nabla \hat{\mathbf{n}}$ — скалярный инвариант тензора \mathbf{M} . Здесь символ T означает транспонирование матрицы, соответствующей $\nabla \mathbf{v}$.

В дальнейшем будем исследовать гидродинамические режимы $\nabla T \sim 1 \text{ К}/\mu\text{м}$, возникающие в ЖК-канале микронных размеров под действием сфокусированного лазерного излучения через верхнюю свободную поверхность. При этом поле температуры $T(x, z, t)$ удовлетворяет уравнению теплопроводности [4,5,9]

$$\rho C_P \frac{dT}{dt} = -\nabla \mathbf{q} + \mathcal{O}(x, z), \quad (4)$$

где вектор $\mathbf{q} = -T \frac{\delta \mathcal{R}}{\delta \nabla T}$ представляет собой тепловой поток в ЖК-систему, а C_P — теплоемкость ЖК-фазы, $\mathcal{O}(x, z) = \mathcal{O}_0 \exp \left[-2 \frac{(x-x_0)^2 + (z-z_0)^2}{\Delta^2} \right] \mathcal{H}(t_{\text{in}} - t)$ — плотность внутренних источников тепла [9], $\mathcal{H}(t_{\text{in}} - t)$ — функция Хевисайда, $\mathcal{O}_0 = \frac{2}{\pi} \frac{\alpha \mathcal{V}_0}{\Delta^2}$ — коэффициент теплового потока, α — коэффициент абсорбции, \mathcal{V}_0 — мощность лазерного излучения, Δ — размер Гауссова пятна лазерного излучения, t_{in} — продолжительность накачки лазерной энергии в ЖК-образец, а x_0 и z_0 — координаты центра лазерного пятна.

При этом будем считать, что температура на всех твердых ограничивающих поверхностях постоянна и равна

$$T_{-L < x < L, z = -d} = T_{x = \pm L, -d < z < d} = T_0, \quad (5)$$

в то время как через верхнюю свободную поверхность отсутствует поток тепла, так что граничное условие на свободной поверхности может быть записано в виде

$$(\mathbf{q}_{z=H} \cdot \mathbf{v}) = 0, \quad (6)$$

где функция $H(t, x)$ описывает деформацию свободной поверхности в процессе прогревания ЖК-канала. Поле скорости $\mathbf{v} = u\hat{\mathbf{i}} + w\hat{\mathbf{k}}$, образованное горизонтальными $u \equiv v_x(x, z, t)$ и вертикальными $w \equiv v_z(x, z, t)$ составляющими, подчиняется условию прилипания на твердых ограничивающих поверхностях

$$\mathbf{v}_{-L < x < L, z = -d} = \mathbf{v}_{x = \pm L, -d < z < d} = 0, \quad (7)$$

в то время как условие на свободной поверхности связывает три независимых компоненты $(u, x)_{z=H}$, $(u, z)_{z=H}$ и $(w, x)_{z=H}$ градиента поля скорости несжимаемой жидкости, где $u, z = \frac{\partial u}{\partial z}$. Эти компоненты определяются из условия баланса угловых моментов и сил на поверхности $z = H$, что позволяет нам записать эти балансы в виде

$$\begin{aligned} (\mathbf{T}_{\text{el}} + \mathbf{T}_{\text{vis}} + \mathbf{T}_{\text{tm}})_{z=H} &= 0, \\ \mathbf{v} \cdot \sigma_{z=H} \cdot \mathbf{v} &= \gamma \kappa, \\ \mathbf{v} \cdot \sigma_{z=H} \cdot \hat{\mathbf{t}} &= 0. \end{aligned} \quad (8)$$

Здесь γ — коэффициент поверхностного натяжения свободной ЖК-поверхности. Зная функцию $z = H(t, x)$, мы можем определить нормальный $\mathbf{v} = \left[-\frac{H_x}{\sqrt{H_x^2 + 1}}, 1 \right]$ и касательный $\hat{\mathbf{t}} = \left[1, \frac{H_x}{\sqrt{H_x^2 + 1}} \right]$ векторы к этой поверхности, а также ее кривизну $\kappa = -\frac{H_{xx}}{\sqrt{H_x^2 + 1}}$ и ориентацию директора на поверхности $\hat{\mathbf{n}}_{z=H} = -\mathbf{v}$.

Уравнение описывающее деформацию свободной поверхности $H(x, t)$, вызванную локальным разогревом ЖК-материала, принимает вид

$$\frac{\partial H}{\partial t} = w_{z=H} - u_{z=H} H_{,x}, \quad (9)$$

где $u_{z=H}$ и $w_{z=H}$ горизонтальная и вертикальная компонента вектора скорости \mathbf{v} на границе раздела ЖК-фаза/воздух соответственно. Система безразмерных уравнений, описывающих эволюцию поля директора, скорости и температуры под действием источника тепла может быть записана в виде

$$\begin{aligned} n_x n_{x,\tau} - n_x n_{z,\tau} &= \delta_1 [n_z \mathcal{M}_{0,x} - n_x \mathcal{M}_{0,z} + K_{31} (n_z f_{,z} + n_x f_{,x})] \\ &- \frac{1}{2} \psi_{,xx} [1 + \gamma_{21} (n_x^2 - n_z^2)] - \frac{1}{2} \psi_{,zz} [1 - \gamma_{21} (n_x^2 - n_z^2)] \\ &+ 2\gamma_{21} \psi_{,xz} n_x n_z + \psi_{,z} \mathcal{N}_x + \mathcal{N}_z \psi_{,x} + \delta_2 (\chi_{,x} \mathcal{L}_{,x} + \chi_{,z} \mathcal{L}_{,z}), \end{aligned} \quad (10)$$

$$\begin{aligned} \delta_3 \psi_{,xz\tau} &= a_1 \psi_{,zzzz} + a_2 \psi_{,xzzz} + a_3 \psi_{,xxzz} + a_4 \psi_{,xxxx} \\ &+ a_5 \psi_{,xxxx} + a_6 \psi_{,zzz} + a_7 \psi_{,xzz} + a_8 \psi_{,xxz} \\ &+ a_9 \psi_{,xxx} + a_{10} \psi_{,zz} + a_{11} \psi_{,xz} + a_{12} \psi_{,xx} + \mathcal{F}, \end{aligned} \quad (11)$$

$$\begin{aligned} \chi_{,\tau} &= [\chi_{,x} (\Lambda n_x^2 + n_z^2) + (\Lambda - 1) n_x n_z \chi_{,z}]_{,x} \\ &+ [\chi_{,z} (\Lambda n_z^2 + n_x^2) + (\Lambda - 1) n_x n_z \chi_{,x}]_{,z} + \delta_4 \chi \left(\nabla \frac{\partial \mathcal{R}^{\text{tm}}}{\partial \nabla \chi} \right) \\ &+ \delta_5 \mathcal{O}(x, z, \tau) - \psi_{,z} \chi_{,x} + \psi_{,x} \chi_{,z}, \end{aligned} \quad (12)$$

где $\tau = \frac{t}{t_T}$ — безразмерное время, $t_T = \frac{\rho C_P d^2}{\lambda_{\perp}}$ — характерное время используемое для нормировки, $\gamma_{21} = \gamma_2 / \gamma_1$ — отношение коэффициентов вращательной вязкости, $\psi = \frac{t_T}{d} \psi$ — безразмерный аналог функции тока ψ для поля скорости $\mathbf{v} = u\hat{\mathbf{i}} + w\hat{\mathbf{k}} = -\nabla \mathbf{j} \psi$, $\chi(x, z, \tau) = T(x, z, \tau) / T_{\text{NI}}$ — безразмерная температура, T_{NI} — температура фазового перехода нематик-изотропное состояние, $f = n_{x,z} - n_{z,x}$, $n_{z,\tau} = \frac{\partial n_z}{\partial \tau}$, $\mathcal{M}_0 = \nabla \cdot \hat{\mathbf{n}}$, $\mathcal{N}_x = n_z n_{x,x} - n_x n_{z,z}$, $\mathcal{L}_x = n_x n_{z,x} - \frac{3}{2} n_z n_{z,x} + \frac{1}{2} n_x n_{x,z}$, $\mathcal{L}_z = -n_z n_{x,z} + \frac{3}{2} n_x n_{z,z} - \frac{1}{2} n_z n_{z,x}$, а $\bar{x} = \frac{x}{d}$ и $\bar{z} = \frac{z}{d}$ — безразмерные пространственные переменные. В системе уравнений (10)–(12) и в последующем изложении черта над безразмерной функцией тока ψ и безразмерными пространственными переменными x и z опущена. Выражения для функций $\mathcal{F} = (\sigma_{xx}^{\text{el}} + \sigma_{xx}^{\text{tm}} - \sigma_{zz}^{\text{el}} - \sigma_{zz}^{\text{tm}})_{,xz} + (\sigma_{zx}^{\text{el}} + \sigma_{zx}^{\text{tm}})_{,zz} - (\sigma_{xz}^{\text{el}} + \sigma_{xz}^{\text{tm}})_{,xx}$, σ_{ij}^{tm} ($i, j = x, z$) и σ_{ij}^{el} ($i, j = x, z$), а также коэффициентов a_i ($i = 1, \dots, 12$) приведены в Приложении. Система уравнений (10)–(12) характеризуется набором параметров $K_{31} = \frac{K_3}{K_1}$, $\gamma_{21} = \frac{\gamma_2}{\gamma_1}$, $\Lambda = \lambda_{\parallel} / \lambda_{\perp}$, $\delta_1 = \frac{t_T K_1}{\gamma_1 d^2}$, $\delta_2 = \frac{\rho C_P T_{\text{NI}}}{\lambda_{\perp}} \frac{\xi}{\gamma_1}$, $\delta_3 = \frac{\rho d^2}{\gamma_1 t_T}$, $\delta_4 = \frac{\xi}{\lambda_{\perp} t_T}$ и $\delta_5 = \frac{2\alpha}{\pi \Delta^2} \frac{d^2}{\lambda_{\perp} T_{\text{NI}}} \mathcal{O}_0$.

Переориентация, под действием градиента температуры $\nabla \chi$, поля директора и скорости в микролитровом

ГОЖК-объеме ограниченным одной нижней, двумя вертикальными стенками и сверху, в начальный момент, плоской свободной поверхностью может быть описана системой нелинейных дифференциальных уравнений в частных производных (10)–(12) и дополненной граничными и начальными условиями как для поля директора и функции тока, так и для поля температуры. Так, на твердых поверхностях эти условия могут быть записаны в виде

$$\begin{aligned} (n_x)_{x=\pm 10, -1 \leq z \leq 1} &= 0, & (n_x)_{-10 \leq x \leq 10, z=-1} &= 1, \\ \chi_{x=\pm 10, -1 \leq z \leq 1} &= 0.97, & \chi_{-10 \leq x \leq 10, z=-1} &= 0.97, \\ (\psi, x)_{x=\pm 10, -1 \leq z \leq 1} &= (\psi, z)_{x=\pm 10, -1 \leq z \leq 1} = 0, \\ (\psi, x)_{-10 \leq x \leq 10, z=-1} &= (\psi, z)_{-10 \leq x \leq 10, z=-1} = 0, \end{aligned} \quad (13)$$

в то время как на свободной границе раздела ЖК-фаза/воздух эти условия принимают вид

$$(\mathbf{n} \nabla \chi)_{z=H} = 0, \quad (\mathbf{n} \mathbf{v})_{z=H} = -1, \quad \hat{\mathbf{B}} \Psi = \mathbf{C}. \quad (14)$$

Последнее уравнение является результатом решения системы уравнений (8) относительно трех безразмерных компонент градиента поля скорости $\vec{\Psi} = (\psi,_{xx}, \psi,_{xz}, \psi,_{zz}, \cdot)$. Выражение для матрицы \mathcal{B} и вектора \mathbf{C} даны в Приложении, а начальные условия могут быть записаны в виде

$$\begin{aligned} \hat{\mathbf{n}}(\tau = 0, x, z) &= \hat{\mathbf{n}}_{\text{el}}(x, z), & \psi(\tau = 0, x, z) &= 0, \\ \chi(\tau = 0, x, z) &= 0.97. \end{aligned} \quad (15)$$

В уравнении (15) $\hat{\mathbf{n}}_{\text{el}}(x, z)$ есть распределение упругого гибридного поля директора, удовлетворяющее уравнению

$$n_z \mathcal{M}_{0,x} - n_x \mathcal{M}_{0,z} + K_{31} (n_z f,_{,z} + n_x f,_{,x}) = 0, \quad (16)$$

и граничным условиям

$$\begin{aligned} (n_x)_{x=\pm 10, -1 \leq z \leq 1} &= (n_x)_{-10 \leq x \leq 10, z=1} = 0, \\ (n_x)_{-10 \leq x \leq 10, z=-1} &= 1. \end{aligned} \quad (17)$$

Решение системы (10)–(12) с граничными и начальными условиями (14)–(17) следует дополнить условием для определения профиля деформированной границы раздела ЖК-фаза/воздух

$$H,_{\tau} + (\psi, x)_{z=H} + (\psi, z)_{z=H} H,_{,x} = 0. \quad (18)$$

Дальнейший анализ был проведен для случая ЖК-системы образованной цианобифинилом 5ЦБ при температуре 300 К и плотности $\rho = 10^3 \text{ kg/m}^3$. При температуре 300 К значения коэффициентов Франка K_1 и K_3 были выбраны равными 8.7 [pN] и 10 [pN] [15], в то время как значения коэффициентов γ_1 и γ_2 были выбраны равными 0.069 [Pa · s] и -0.083 [Pa · s] [16] соответственно. Значения величин шести коэффициентов Лесли (в [Pa · s] [16]) равны:

$\alpha_1 \sim -0.0066$, $\alpha_2 \sim -0.076$, $\alpha_3 \sim -0.007$, $\alpha_4 \sim 0.072$, $\alpha_5 \sim 0.048$ и $\alpha_6 \sim -0.03$ соответственно. Для коэффициентов теплопроводности в ЖК-системе образованной цианобифинилом 5ЦБ были выбраны следующие значения (в [W/m · K] [17]): $\lambda_{\parallel} = 0.24$ и $\lambda_{\perp} = 0.13$ соответственно, а величина теплоемкости равна [18] $C_p \sim 10^3$ [J/kg · K]. В дальнейших расчетах была выбрана следующая величина поверхностного натяжения на границе раздела ЖК-фаза/воздух [19] $\gamma \sim 0.02$ [N/m], а величина коэффициента абсорбции α , для случая лазерного излучения с длиной волны в 1061 [nm], равна 8 [m⁻¹] [20]. В наших расчетах толщина $2d$ ЖК-ячейки равна 10 [μm], а величина термомеханической постоянной ξ была оценена в [21] как ~ 1 pK/N. Таким образом, безразмерные параметры системы (10)–(12) имеют следующие значения: $\delta_1 \sim 10^{-3}$, $\delta_2 \sim 0.3$, $\delta_3 \sim 10^{-6}$ и $\delta_4 \sim 10^{-4}$. Принимая во внимание тот факт, что безразмерная температура χ находится в пределах $[0.97 - 1.0]$, величину параметра δ_5 можно оценить как $\delta_5 \sim 7.0$. Эта оценка $\delta_5 = \frac{2\alpha}{\pi \Delta^2} \frac{d^2}{\lambda_{\perp} T_{\text{Ni}}} \mathcal{O}_0$ основывается на том, что продолжительность лазерного импульса мощностью в $\mathcal{Y}_0 \sim 0.5$ W, была $t_{\text{in}} \sim 2.0$ μs, а размер лазерного пятна был выбран равным $\Delta = 0.5$ μm. Далее, принимая во внимание тот факт, что $\delta_3 \ll 1$, уравнение (11) может быть переписано в виде

$$\begin{aligned} a_1 \psi,_{zzzz} + a_2 \psi,_{xzzz} + a_3 \psi,_{xxzz} + a_4 \psi,_{xxxz} + a_5 \psi,_{xxxx} \\ + a_6 \psi,_{zzz} + a_7 \psi,_{xzz} + a_8 \psi,_{xxz} + a_9 \psi,_{xxx} \\ + a_{10} \psi,_{zz} + a_{11} \psi,_{xz} + a_{12} \psi,_{zz} + \mathcal{F} = 0. \end{aligned} \quad (19)$$

3. Деформация свободной поверхности ЖК-канала и формирование вихревых потоков

Процесс формирования вихревых потоков, а также переориентации поля директора и формирование градиента температуры в узком ЖК-канале под действием лазерного излучения интенсивностью $\mathcal{Y}_0 = 0.5$ W и продолжительностью 2.0 μs описывается системой нелинейных дифференциальных уравнений в частных производных (10), (11) и (19) с учетом граничных (13)–(14) и начальных (15) условий. Система уравнений была решена методом релаксации [22] и сеточным методом [23]. Был изучен режим прогревания ЖК-фазы лазерным излучением мощностью $\mathcal{Y}_0 = 0.5$ W сфокусированным вблизи границы раздела ЖК-фаза/воздух на глубину $x_0 = 0.0$, $z_0 = 0.93$, или ~ 0.7 μm вглубь ЖК-фазы от свободной поверхности и продолжительностью $t_{\text{in}} \sim 2.0$ μs. В начальный момент времени, с помощью уравнения (16), граничного условия (17) и условия отсутствия скорости $u = w = 0$, было рассчитано поле температуры соответствующее $\hat{\mathbf{n}}_{\text{el}}(x, z)$, что позволило также рассчитать функцию \mathcal{F} , компоненты матрицы \mathcal{B}_{ij} и вектора \mathbf{C} . Располагая начальными распределениями поля директора

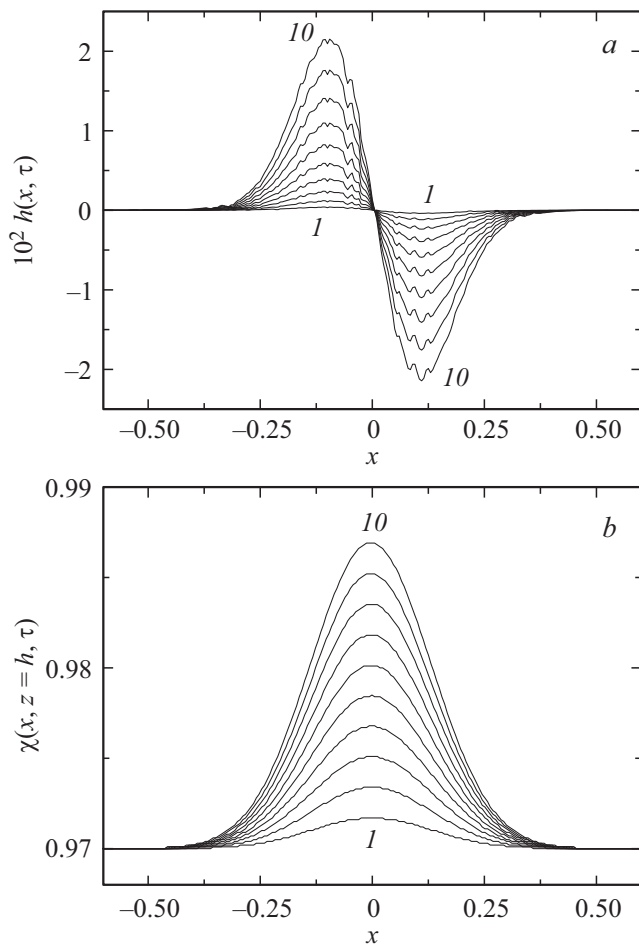


Рис. 1. Эволюция безразмерных профилей деформации свободной поверхности ЖК-фазы $h(x, \tau)$ (a) и температуры $\chi(x, \tau)$ (b) по длине ЖК-канала $-10 \leq x \leq 10$ в процессе его разогрева лазерным лучом мощностью 0.5 W и продолжительностью $2 \mu\text{s}$, сфокусированным в точке $x_0 = 0.0, z_0 = 0.93$. Результаты даны для 10 значений времени $\tau_i = 2^i \cdot 10^{-5}$ ($i = 1, \dots, 10$).

$\hat{n}_{el}(x, z)$ и температуры $\chi(x, z, \Delta\tau)$, соответствующими моменту времени $\Delta\tau$, было рассчитано распределение функции тока $\psi(x, z, \Delta\tau)$. Следующий шаг по времени $\Delta\tau$ для распределения поля скорости, температуры и поля директора по сечению ЖК-образца со свободной поверхностью был осуществлен с помощью сеточного метода [23], причем устойчивость численной процедуры определялась из условия

$$\frac{\Delta\tau}{\delta_3} \left(\frac{1}{(\Delta x)^2} + \frac{1}{(\Delta z)^2} \right) \leq \frac{1}{2},$$

$$\frac{3a_5}{(\Delta x)^4} - \frac{2a_1}{(\Delta z)^4} > 0,$$

где Δx и Δz — приращения пространственных переменных, а коэффициенты a_1 и a_5 приведены в Приложении. Условием сходимости итерационной

процедуры была выбрана величина $\epsilon = |(\chi_{(m+1)}(x, z, \tau) - \chi_{(m)}(x, z, \tau)) / \chi_{(m)}(x, z, \tau)| \sim 10^{-4}$, и итерационная процедура продолжалась вплоть до достижения заданной точности $\epsilon \sim 10^{-4}$. Здесь m — число итераций. На рис. 1, a представлены результаты расчета безразмерного профиля деформации свободной границы раздела ЖК-фаза/воздух $h(x, \tau) = H(x, \tau) - 1$ по длине ЖК-канала $-10 \leq x \leq 10$, соответствующие первым 10 значениям времени $\tau_i = 2^i \cdot 10^{-5}$ ($i = 1, \dots, 10$). При этом время инжекции лазерного излучения мощностью $\mathcal{Y}_0 = 0.5 \text{ W}$ и сфокусированного вблизи границы раздела ЖК-фаза/воздух на $\sim 0.7 \mu\text{m}$ вглубь 10 микронной ЖК-фазы было продолжительностью $t_{in} \sim 2.0 \mu\text{s}$. Расчеты показывают, что в процессе разогрева изначально плоская свободная граница раздела ЖК-фаза/воздух деформируется сильнее всего вблизи точек $x = \pm 0.125$, и приобретает „волнообразный“ профиль, причем максимальная высота гребня „волны“ достигает значения $|h(x \sim \pm 1, \tau_{in} = \tau_{10} = 0.01)| \sim 0.02$, т.е., $\sim 2\%$ от толщины ЖК-слоя. На рис. 1, b представлены результаты расчетов эволюции распределения безразмерной температуры $\chi_{z=H}(x, \tau)$ по длине ЖК-канала $-10 \leq x \leq 10$, соответствующие тем же значениям времени что и на рис. 1, a. Расчеты свидетельствуют о том, что прогревание ЖК-объема носит локальный характер ($\sim 1.5\%$ от всего объема ЖК-фазы) и максимальная температура разогрева ЖК-фазы $\chi(x = 0.0)_{z=H} \sim 0.987$ ($\sim 307 \text{ K}$) достигается спустя $\tau_{in} = \tau_{10} = 0.01$ ($\sim 2 \mu\text{s}$). Эволюция безразмерных профилей компонент скорости $\mathbf{v}_{z=H} = u_{z=H} \hat{\mathbf{i}} + w_{z=H} \hat{\mathbf{k}}$ на свободной поверхности ЖК-фазы, соответствующих тем же значениям времени что и на рис. 1, a, представлены на рис. 2, a, b. Эволюция горизонтальной u и вертикальной w составляющих

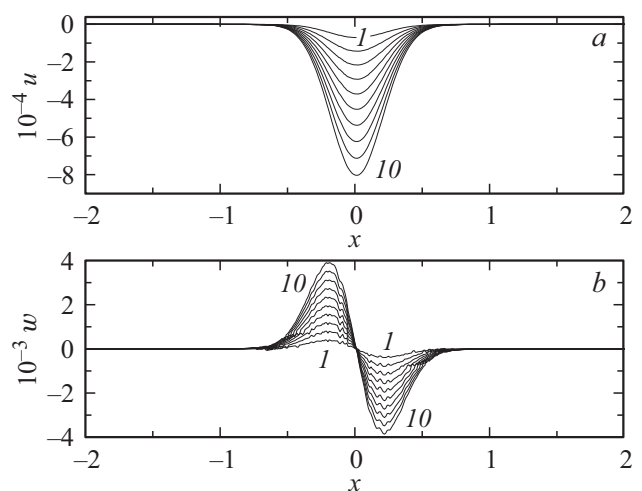


Рис. 2. Эволюция безразмерных профилей горизонтальной $u(x, \tau)_{z=H}$ (a) и вертикальной $w(x, \tau)_{z=H}$ (b) компонент вектора скорости на свободной поверхности ЖК-фазы по длине ЖК-канала $-10 \leq x \leq 10$ в процессе его разогрева лазерным лучом мощностью 0.5 W и продолжительностью $2 \mu\text{s}$, сфокусированным в точке $x_0 = 0.0, z_0 = 0.93$. Времена те же что на рис. 1.

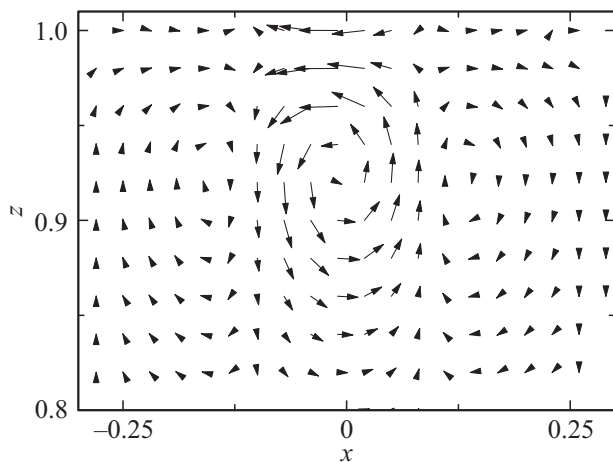


Рис. 3. Распределение поля скорости $\mathbf{v} = u\hat{i} + w\hat{k}$ в объеме ЖК-фазы вблизи фокуса лазерного излучения. 1 mm длины стрелки соответствует $0.4 \mu\text{m/s}$.

вектора скорости в процессе разогрева ЖК-фазы свидетельствует о том, что вблизи свободной границы формируются три вихря: один крупный, вращающийся против часовой стрелки, и два мелких, вращающихся по часовой стрелке соответственно (см. рис. 3). Координаты центра первого вихря $x = 0.0, z = 0.93$, в то время как координаты центров двух других вихрей $x = \pm 0.125, z = 0.93$ соответственно. Расчеты показывают, что наибольшее значение горизонтальной составляющей скорости $u \sim 8 \cdot 10^{-3}$ ($\sim 0.27 \mu\text{m/s}$) достигается в точке $x = 0.0, z \sim 1.0$ и скорость направлена в сторону левого конца ЖК-канала ($x = -10$), в то время как максимальное значение вертикальной составляющей скорости $w \sim 4 \cdot 10^{-4}$ ($\sim 13.2 \text{ nm/s}$) направленной в положительном смысле достигается в точке $x = -0.13, z \sim 1.0$, а в отрицательном смысле вблизи точки $x = 0.13, z \sim 1.0$ соответственно. Расчеты также свидетельствуют о том, что в вихревой поток, создаваемый лазерным излучением мощностью $\mathcal{Y}_0 = 0.5 \text{ W}$ и продолжительностью $t_{\text{in}} \sim 2.0 \mu\text{s}$, вовлечена незначительная область ЖК-фазы ограниченная размерами $-0.3 \leq x \leq 0.3, 0.8 \leq z \leq 1.0$, или $\sim 1.2\%$ всего объема ЖК-фазы. Следует отметить, что ограничения налагаемые на энергетические параметры лазерного излучения вытекают из небольшого температурного интервала существования нематической фазы образованной молекулами 5ЦБ.

С момента выключения лазерного излучения начинается процесс охлаждения ЖК-фазы $\chi_{z=H}(x, \tau)$ (см. рис. 4, b) и, как следствие, уменьшение характера деформации свободной границы раздела ЖК-фаза/воздух $h(x, \tau)$ (см. рис. 4, a), а также затухание вихревого потока (рис. 5, a, b). На рис. 4–5 показана эволюция вышеописанных характеристик и компонент вектора скорости $u_{z=H}(x, \tau)$ и $w_{z=H}(x, \tau)$ по длине ЖК-канала $-10 \leq x \leq 10$, соответствующих последующим 8 значениям времени $\tau_i = 2^i \cdot 10^{-2}$ ($i = 1, \dots, 8$). Вихревой

поток в ЖК-канале полностью затухает спустя время $\tau_8 \sim 2.56$ ($\sim 0.5 \text{ s}$) после выключения лазерного излучения. При этом как температурный профиль $\chi(x, \tau)$, так и $h(x, \tau)$ в процессе охлаждения сдвигаются в

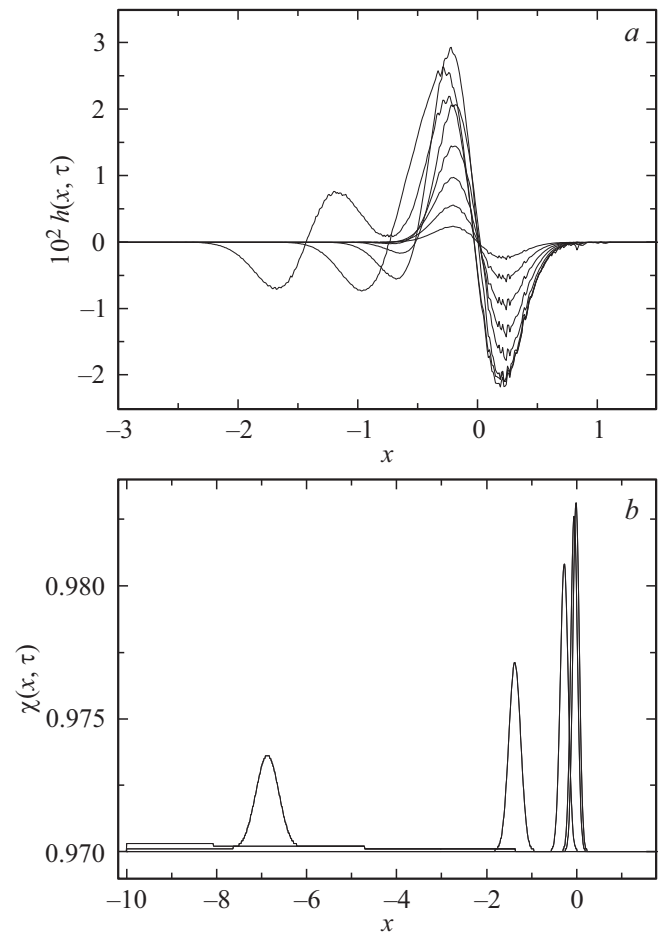


Рис. 4. То же что на рис. 1, но для процесса охлаждения ЖК-фазы. Результаты даны для 8 значений времени $\tau_i = 2^i \cdot 10^{-2}$ ($i = 1, \dots, 8$).

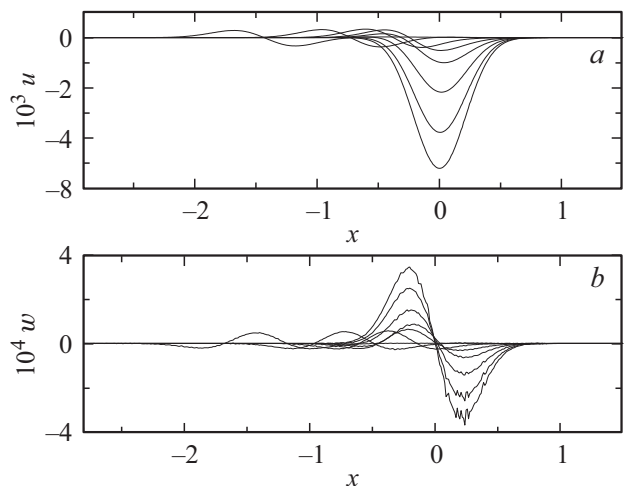


Рис. 5. То же что на рис. 2, но для процесса охлаждения ЖК-фазы. Времена те же что на рис. 4.

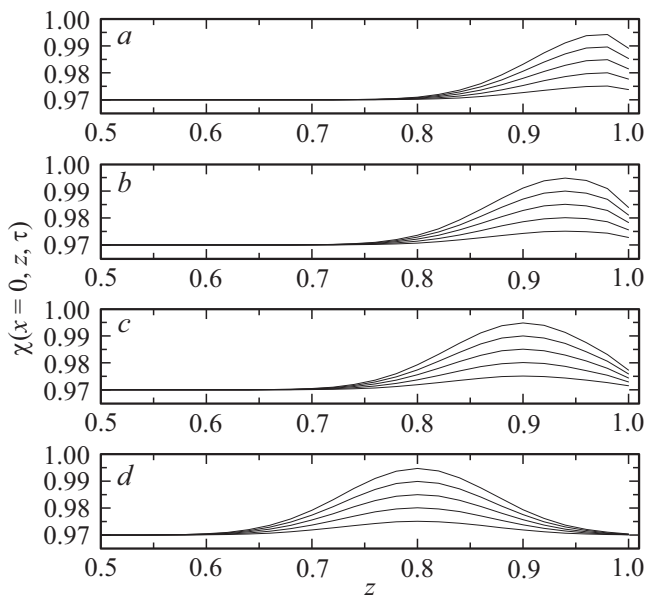


Рис. 6. Распределение значений безразмерной температуры $\chi(x=0, z, \tau)$ по сечению ЖК-канала $0.6 \leq z \leq 1.0$ в процессе его разогрева лазерным лучом мощностью 0.5 W и продолжительностью $2 \mu\text{s}$, сфокусированному в точке $x_0 = 0.0$, а глубина фокусировки варьировалась от значения $z_0 = 0.98$ (a) до 0.94 (b), и далее до 0.90 (c), и заканчивая значением 0.80 (d). Результаты даны для 5 значений времени $\tau_i = 2^i \cdot 10^{-5}$ ($i = 6, \dots, 10$).

левую сторону ЖК-канала, что вызвано существованием относительно большой горизонтальной составляющей u вектора скорости направленной в сторону левого края ЖК-канала (см. рис. 5, a). На рис. 6 приведено распределение безразмерной температуры $\chi(x=0, z, \tau)$ вдоль вертикальной оси $0.5 \leq z \leq 1.0$, когда лазерный луч мощностью $\mathcal{Y}_0 = 0.5 \text{ W}$ и продолжительностью $\tau_{\text{in}} = 0.01$ направлен в точку $x_0 = 0.0$. Результаты даны для 5 значений времени $\tau_i = 2^i \cdot 10^{-5}$ ($i = 6, \dots, 10$). При этом глубина фокусировки лазерного излучения менялась от величины $z_0 = 0.98$ (a) до $z_0 = 0.94$ (b), далее $z_0 = 0.90$ (c), и заканчивая $z_0 = 0.80$ (d) соответственно.

Результаты расчетов указывают на слабую зависимость профилей соответствующих распределений температуры по указанной толщине ЖК-материала от глубины фокусировки лазерного излучения. Так, например, для случая $z_0 = 0.80$ мощности лазерного излучения $\mathcal{Y}_0 = 0.5 \text{ W}$ не хватает на то, чтобы за время $\tau_{\text{in}} = \tau_{10} = 0.01$ прогретая область, где $\chi > \chi_{\text{boundary}} = 0.97$, достигла бы свободной поверхности ЖК-фазы. На рис. 7–8 приведены результаты расчета профилей безразмерных горизонтальной $u(x=0, z, \tau)$ (рис. 7) и вертикальной $w(x=0, z, \tau)$ (рис. 8) компонент вектора скорости вдоль вертикальной оси $0.7 \leq z \leq 1.0$, когда лазерный луч мощностью $\mathcal{Y}_0 = 0.5 \text{ W}$ направлен в точку $x_0 = 0.0$. Здесь значения времени те же что и на рис. 6. Показано, что по мере того, как фокус лазерного излучения смещает-

ся вглубь ЖК-материала, направление горизонтальной компоненты вектора скорости $u(x=0, z, \tau)$ меняет знак с отрицательного на положительный, примерно на глубине $z_0 = 0.90$. При этом, направление вертикальной составляющей вектора скорости $w(x=0, z, \tau)$ не меняется в течении всех расчетных значений времени $\tau_i = 2^i \cdot 10^{-5}$ ($i = 6, \dots, 10$) и величина этой скорости

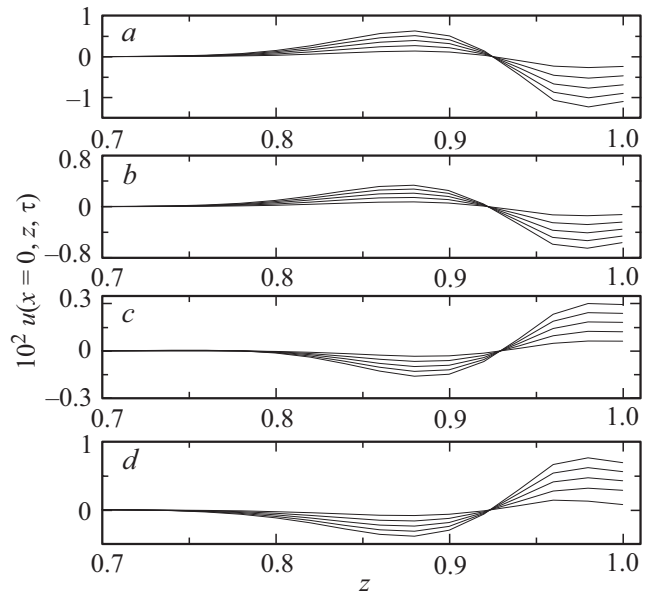


Рис. 7. Распределение безразмерной горизонтальной $u(x=0, z, \tau)$ компоненты вектора скорости по сечению ЖК-канала $0.7 \leq z \leq 1.0$ в процессе его разогрева лазерным лучом. Остальные значения те же что на рис. 6.

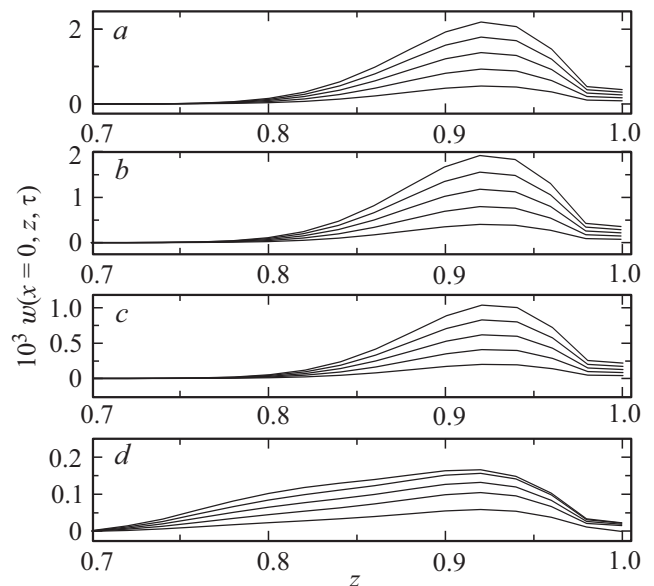


Рис. 8. То же что на рис. 7, но для распределения безразмерной вертикальной $w(x=0, z, \tau)$ компоненты вектора скорости по сечению ЖК-канала $0.7 \leq z \leq 1.0$ в процессе его разогрева лазерным лучом.

быстро стремится к нулю, по мере приближения к свободной поверхности ЖК-фазы.

Таким образом, расчеты показывают, что изменяя глубину фокусировки лазерного излучения можно добиться изменения направления и величины вихревых потоков в микролитровых ЖК-объемах и, тем самым, добиться необходимой транспортировки ЖК-капель помещенных в микроразмерные каналы или капилляры [5].

4. Заключение

Анализ полученных результатов касающихся эволюции поля директора, скорости и температуры в ЖК-каналах со свободной поверхностью под действием лазерного излучения показал, что в рамках нелинейного обобщения классической теории Эриксона-Лесли, допускающей учет термомеханических вкладов в выражения для компонент тензора напряжений и баланса моментов сил действующих на единицу объема ЖК-фазы, возможно описание зарождения и формирования вихревых потоков в этих микрометровых ЖК-каналах. Было обнаружено, что в процессе разогрева ЖК-канала лазерным излучением допустимой мощности произошла незначительная переориентация поля директора, повлекшая за собой формирование локального вихревого течения в ЖК-канале. Было также показано, что изменяя глубину фокусировки лазерного излучения можно добиться изменения направления и величины вихревых потоков в микролитровых ЖК-объемах. Все это позволяет надеяться на то, что локальный разогрев ЖК-фазы посредством лазерного излучения является удобным инструментом для транспортировки ЖК-капель помещенных в микроразмерные каналы или капилляры, что указывает на то, что существует возможность немеханической транспортировки или сортировки микролитровых объемов ЖК-фазы под действием сфокусированного лазерного излучения.

Исследованные в работе особенности, связанные с реакцией ЖК-материалов на локализованное воздействие градиента температуры и градиента поля директора, необходимо учитывать при создании разнообразных сенсоров и датчиков используемых в биотехнологических приложениях, медицине и фармакологии, а также в иммерсионной литографии.

5. Приложение

Безразмерные компоненты тензора напряжений имеют вид

$$\sigma_{xx}^{el} = \delta_1 [-n_{x,x} \mathcal{M}_0 + K_{31} f n_{z,x}],$$

$$\sigma_{zz}^{el} = \delta_1 [-n_{x,x} \mathcal{M}_0 + K_{31} f n_{z,z}],$$

$$\sigma_{xz}^{el} = \delta_1 [-n_{x,x} \mathcal{M}_0 - K_{31} f n_{x,x}],$$

$$\sigma_{zx}^{el} = \delta_1 [-n_{x,x} \mathcal{M}_0 - K_{31} f n_{x,z}],$$

$$\begin{aligned} \sigma_{xx}^{vis} &= \gamma_{21} n_x \frac{dn_x}{dt} + \psi_{,xz} \frac{1}{\gamma_1} [\alpha_4 + (\alpha_5 + \alpha_6) n_x^2 \\ &+ \alpha_1 n_x^2 (n_x^2 - n_z^2)] + \frac{\alpha_1}{\gamma_1} n_x^3 n_z (\psi_{,zz} - \psi_{,xx}) \\ &- \frac{1}{2} \gamma_{21} n_x n_z (\psi_{,zz} + \psi_{,xx}), \end{aligned}$$

$$\begin{aligned} \sigma_{xz}^{vis} &= \frac{1}{2} \left(n_z \frac{dn_x}{dt} - n_x \frac{dn_z}{dt} \right) + \frac{1}{2} \gamma_{21} \left(n_z \frac{dn_x}{dt} + n_x \frac{dn_z}{dt} \right) \\ &+ \psi_{,xz} \frac{1}{\gamma_1} [\alpha_1 n_x n_z (n_x^2 - n_z^2) + \gamma_{21} n_x n_z] \\ &+ \frac{1}{\gamma_1} (\psi_{,zz} - \psi_{,xx}) \left[\alpha_1 n_x^2 n_z^2 + \frac{\alpha_4}{2} + \frac{\alpha_5 + \alpha_6}{4} \right] \\ &- \frac{1}{4} (\psi_{,zz} + \psi_{,xx}) + \frac{1}{2} \gamma_{21} \psi_{,xx} (n_x^2 - n_z^2), \end{aligned}$$

$$\begin{aligned} \sigma_{zx}^{vis} &= \frac{1}{2} \left(n_x \frac{dn_z}{dt} - n_z \frac{dn_x}{dt} \right) + \frac{1}{2} \gamma_{21} \left(n_z \frac{dn_x}{dt} + n_x \frac{dn_z}{dt} \right) \\ &- \psi_{,xz} \frac{1}{\gamma_1} [\alpha_1 n_x n_z (n_z^2 - n_x^2) + \gamma_{21} n_x n_z] \\ &+ \frac{1}{\gamma_1} (\psi_{,zz} - \psi_{,xx}) \left[\alpha_1 n_x^2 n_z^2 + \frac{\alpha_4}{2} + \frac{\alpha_5 + \alpha_6}{4} \right] \\ &+ \frac{1}{4} (\psi_{,zz} + \psi_{,xx}) + \frac{1}{2} \gamma_{21} \psi_{,zz} (n_x^2 - n_z^2), \end{aligned}$$

$$\begin{aligned} \sigma_{zz}^{vis} &= \gamma_{21} n_z \frac{dn_z}{dt} - \psi_{,xz} \frac{1}{\gamma_1} [\alpha_4 + (\alpha_5 + \alpha_6) n_z^2 + \alpha_1 n_z^2 (n_z^2 - n_x^2)] \\ &+ \alpha_1 n_z^3 n_x (\psi_{,zz} - \psi_{,xx}) + \frac{1}{2} \gamma_{21} n_x n_z (\psi_{,zz} + \psi_{,xx}), \end{aligned}$$

$$\begin{aligned} \sigma_{xx}^{tm} &= \delta_1 \chi_{,x} \left[\frac{1}{2} M_{xx} n_x (3n_x^2 + 7) M_{xz} n_z \left(1 + \frac{7}{2} n_x^2 \right) \right. \\ &+ \left. M_{zz} n_x \left(\frac{3}{2} + 2n_z^2 \right) \right] + \delta_1 \chi_{,z} \left[M_{xx} n_z (n_x^2 + 1) \right. \\ &+ \left. \frac{1}{2} M_{xz} n_x (3 + 5n_z^2) + \frac{3}{2} M_{zz} n_z (1 + n_z^2) \right], \end{aligned}$$

$$\begin{aligned} \sigma_{xz}^{tm} &= \delta_1 \chi_{,x} \left[\frac{1}{2} M_{xx} n_z (n_x^2 + 3) + M_{xz} n_x \left(3n_z^2 - \frac{1}{2} \right) + M_{zz} n_z^3 \right] \\ &+ \delta_1 \chi_{,z} \left[\frac{1}{2} M_{xx} n_x - \frac{1}{2} M_{xz} n_z (3 - n_x^2) - \frac{1}{2} M_{zz} n_x n_z^2 \right], \end{aligned}$$

$$\begin{aligned} \sigma_{zx}^{tm} &= \delta_1 \chi_{,x} \left[-\frac{1}{2} M_{xx} n_z n_x^2 + \frac{1}{2} M_{xz} n_x (3 - n_z^2) + \frac{1}{2} M_{zz} n_z \right] \\ &+ \delta_1 \chi_{,z} \left[M_{xx} n_x^3 + \frac{1}{2} M_{xz} n_z (3n_x^2 - 1) + \frac{1}{2} M_{zz} n_x (1 + n_z^2) \right], \end{aligned}$$

$$\sigma_{zz}^{tm} = \delta_1 \chi_{,x} \left[\frac{3}{2} M_{xx} n_x (n_x^2 + 1) + M_{xz} n_z (3 + 5n_x^2) + M_{zz} n_x (1 + n_z^2) \right] + \delta_1 \chi_{,z} \left[M_{xx} n_z \left(2n_x^2 + \frac{3}{2} \right) + M_{xz} n_x \left(1 + \frac{7}{2} n_z^2 \right) + \frac{1}{2} M_{zz} n_z (7 + 3n_z^2) \right].$$

Коэффициенты a_i ($i = 1, \dots, 12$) уравнения (11) имеют вид

$$\begin{aligned} a_1 &= \frac{1}{2} + \frac{1}{\gamma_1} \left[\frac{\alpha_4}{2} + \frac{\alpha_5 + \alpha_6}{4} + \alpha_1 n_x^2 n_z^2 \right] + \frac{\gamma_{21}}{2} (n_x^2 - n_z^2) - \frac{\gamma_{21}^2}{4} (n_x^2 - n_z^2)^2, \\ a_2 &= -\frac{2}{\gamma_1} [\alpha_1 n_x n_z (n_z^2 - n_x^2) + \gamma_2 n_x n_z] + 2\gamma_{21}^2 n_x n_z (n_x^2 - n_z^2), \\ a_3 &= 1 + \frac{1}{\gamma_1} \left[\alpha_4 + \frac{\alpha_5 + \alpha_6}{2} - \alpha_1 (n_x^4 + n_z^4) \right] - 4\gamma_{21}^2 n_x^2 n_z^2 + \frac{1}{2} \gamma_{21}^2 (n_x^2 - n_z^2), \\ a_4 &= \frac{2}{\gamma_1} [\alpha_1 n_x n_z (n_z^2 - n_x^2) - \gamma_2 n_x n_z] - 2\gamma_{21}^2 n_x n_z (n_x^2 - n_z^2), \\ a_5 &= \frac{1}{2} + \frac{1}{\gamma_1} \left[\frac{\alpha_4}{2} + \frac{\alpha_5 + \alpha_6}{4} + \alpha_1 n_x^2 n_z^2 \right] - \frac{\gamma_{21}}{2} (n_x^2 - n_z^2) - \frac{\gamma_{21}^2}{4} (n_x^2 - n_z^2)^2, \\ a_6 &= \frac{1}{\gamma_1} \left[\left(\alpha_1 + \frac{\gamma_2^2}{\gamma_1} \right) n_x n_z (n_x^2 - n_z^2) + 2\gamma_2 n_x n_z \right]_{,x} + \frac{1}{\gamma_1} \left[\alpha_1 n_x^2 n_z^2 + \frac{\gamma_2}{2} (n_x^2 - n_z^2) \right]_{,z} - \frac{\gamma_{21}^2}{4} [(n_x^2 - n_z^2)^2]_{,z}, \\ a_7 &= -\frac{2}{\gamma_1} [\alpha_1 n_x n_z (n_x^2 - n_z^2) + \gamma_2 n_x n_z]_{,z} - \frac{1}{\gamma_1} \left[\alpha_1 (n_x^2 - n_z^2)^2 + 4 \frac{\gamma_2^2}{\gamma_1} n_x^2 n_z^2 \right]_{,x} + \frac{1}{4} [1 + \gamma_{21} (n_x^2 - n_z^2)]_{,x}^2 + 2\gamma_{21}^2 [n_x n_z (n_x^2 - n_z^2)]_{,z}, \\ a_8 &= \frac{1}{\gamma_1} \left[\left(-\alpha_1 + \frac{\gamma_2^2}{4\gamma_1} \right) (n_z^2 - n_x^2)^2 - \left(2\alpha_1 + \frac{4\gamma_2^2}{\gamma_1} \right) n_x^2 n_z^2 \right]_{,z} + \frac{2}{\gamma_1} \left[\left(\alpha_1 + \frac{\gamma_2^2}{\gamma_1} \right) (n_z^2 - n_x^2) n_x n_z - \gamma_2 n_x n_z \right]_{,x}, \\ a_9 &= \frac{1}{\gamma_1} \left[-\left(\alpha_1 + \frac{\gamma_2^2}{\gamma_1} \right) n_x n_z (n_x^2 - n_z^2) - 2\gamma_2 n_x n_z \right]_{,z} + \frac{1}{\gamma_1} \left[\alpha_1 n_x^2 n_z^2 - \frac{\gamma_2}{2} (n_x^2 - n_z^2) \right]_{,x} - \frac{\gamma_{21}^2}{4} [(n_x^2 - n_z^2)^2]_{,x}, \end{aligned}$$

$$\begin{aligned} a_{10} &= \frac{1}{\gamma_1} \left[\alpha_1 n_x^2 n_z^2 + \frac{3\gamma_2}{4} (n_x^2 - n_z^2) \right]_{,zz} - \frac{1}{\gamma_1} \left[\alpha_1 n_x^2 n_z^2 + \frac{\gamma_2}{4} (n_x^2 - n_z^2) \right]_{,xx} + \frac{\gamma_{21}}{4} (n_x^2 - n_z^2) [(n_x^2 - n_z^2)_{,xx} - 2(n_x^2 - n_z^2)_{,zz}] - \left[\frac{\alpha_1}{\gamma_1} n_x n_z (n_z^2 - n_x^2) - \gamma_{21} n_x n_z \right]_{,xz} + \gamma_{21}^2 n_x n_z (n_x^2 - n_z^2)_{,xz} + \gamma_{21}^2 [(n_x n_z)_{,x} (n_x^2 - n_z^2)_{,z} + (n_x n_z)_{,z} (n_x^2 - n_z^2)_{,x}] - \gamma_{21}^2 \left[\frac{1}{4} ((n_x^2 - n_z^2)_{,z})^2 - \frac{1}{4} ((n_x^2 - n_z^2)_{,x})^2 \right], \\ a_{11} &= -\frac{1}{\gamma_1} [\alpha_1 n_x n_z (n_x^2 - n_z^2)]_{,xx} - \frac{1}{\gamma_1} [\alpha_1 n_x n_z (n_x^2 - n_z^2)]_{,zz} - \frac{\alpha_1}{\gamma_1} [(n_x^2 - n_z^2)^2]_{,xz} - \gamma_{21}^2 [n_x n_z (n_z^2 - n_x^2)_{,zz} + (n_x n_z)_{,zz} \times (n_x^2 - n_z^2)] \gamma_{21}^2 [-n_x n_z (n_z^2 - n_x^2)_{,xx} + (n_x n_z)_{,xx} (n_x^2 - n_z^2)] + \gamma_{21}^2 [8n_x n_z (n_z n_x)_{,xz} + 8(n_z n_x)_{,z} (n_z n_x)_{,x} + (n_z n_x)_{,z} (n_x^2 - n_z^2)_{,x}] + \gamma_{21}^2 [(n_z n_x)_{,x} (n_x^2 - n_z^2)_{,x}], \\ a_{12} &= \frac{1}{\gamma_1} \left[\alpha_1 n_x^2 n_z^2 - \frac{3\gamma_2}{4} (n_x^2 - n_z^2) \right]_{,xx} + \frac{1}{\gamma_1} \left[\alpha_1 n_x^2 n_z^2 + \frac{\gamma_2}{4} (n_x^2 - n_z^2) \right]_{,zz} + \frac{\gamma_{21}^2}{4} (n_x^2 - n_z^2) [(n_x^2 - n_z^2)_{,zz} - 2(n_x^2 - n_z^2)_{,xx}] - \left[\frac{\alpha_1}{\gamma_1} n_x n_z (n_z^2 - n_x^2) - \gamma_{21} n_x n_z \right]_{,xz} - \gamma_{21} (n_x n_z)_{,xz} [1 + \gamma_{21} (n_x^2 - n_z^2)] - \gamma_{21}^2 n_x n_z (n_x^2 - n_z^2)_{,xz} - \gamma_{21}^2 [(n_x n_z)_{,z} (n_x^2 - n_z^2)_{,x} + (n_x n_z)_{,x} (n_x^2 - n_z^2)_{,z}] - \frac{\gamma_{21}^2}{4} [((n_x^2 - n_z^2)_{,z})^2 - ((n_x^2 - n_z^2)_{,x})^2]. \end{aligned}$$

Матрица $\hat{\mathcal{B}}$ и вектор \mathbf{C} имеют следующие элементы b_{ij} ($i, j = 1, 2, 3$) и c_i ($i = 1, 2, 3$):

$$\begin{aligned} b_{11} &= (n_x)_{z=H} \left(2\gamma_{21} - \gamma_{21}^2 + \frac{2\alpha_4 + \alpha_5 + \alpha_6 - 2\alpha_1}{2\gamma_1} \right), \\ b_{12} &= -\frac{\alpha_4 + \alpha_5 + \alpha_6 + \alpha_1}{\gamma_1}, \\ b_{13} &= (n_x)_{z=H} \left(\gamma_{21} + \gamma_{21}^2 - \frac{2\alpha_4 + \alpha_5 + \alpha_6 + 2\alpha_1}{2\gamma_1} \right), \\ b_{21} &= \frac{1}{4} - \frac{2\alpha_4 + \alpha_5 + \alpha_6}{4\gamma_1}, \\ b_{22} &= (n_x)_{z=H} \left(-\gamma_{21}^2 - \frac{2\alpha_4 + \alpha_5 + \alpha_6 + 2\alpha_1}{\gamma_1} \right), \end{aligned}$$

$$\begin{aligned}
b_{23} &= \frac{1}{2} - \frac{\gamma_{21}}{2} - \frac{\gamma_{21}^2}{4} + \frac{2\alpha_4 + \alpha_5 + \alpha_6}{4\gamma_1}, \\
b_{31} &= \frac{\gamma_{21} - 1}{2}, \\
b_{32} &= -2\gamma_{21} (n_x)_{z=H}, \\
b_{33} &= -\frac{\gamma_{21} + 1}{2}, \\
c_1 &= 2\gamma (n_{x,x})_{z=H} - \mathcal{P}, \\
c_2 &= \frac{\delta_1}{2} (\gamma_{21} - 1) [3\chi_{,x} (n_{x,x})_{z=H} + \chi_{,z} (n_{x,z})_{z=H}], \\
c_3 &= \delta_1 \left(\frac{3}{2} \chi_{,x} (n_{x,x})_{z=H} + \chi_{,z} (n_{x,z})_{z=H} \right).
\end{aligned}$$

Здесь $\mathcal{P} = \frac{d^2 P}{K_1}$ — безразмерное гидростатическое давление в ЖК-системе.

Список литературы

- [1] W. Sparreboom, A. van den Berg, J.C.T. Eijkel. *New J. Phys.* **12**, 0115004 (2010).
- [2] T.M. Squires, S.R. Quake. *Rev. Mod. Phys.* **77**, 977 (2005).
- [3] E. Verneuil, M.L. Cordero, F. Gallaire, Ch.N. Baroud. *Langmuir* **25**, 5127 (2009).
- [4] A.V. Zakharov, A.A. Vakulenko. *J. Chem. Phys.* **127**, 084907 (2007).
- [5] A.V. Zakharov, A.A. Vakulenko, Mitsumasa Iwamoto. *J. Chem. Phys.* **132**, 224906 (2010).
- [6] S.J. Woltman, G.D. Jay, G.P. Crawford. *Nature Mat.* **6**, 929 (2007).
- [7] S. Zhou, A. Sokolov, O.D. Lavrentovich, I.S. Aranson. *P.N.A.S.* **111**, 1265 (2011).
- [8] H. Choi, H. Takezoe. *Soft Matter*. **12**, 481 (2016).
- [9] A.V. Zakharov, A.A. Vakulenko. *Phys. Fluids* **27**, 062001 (2015).
- [10] Р.С. Акопян, Б.Я. Зельдович. *ЖЭТФ* **87**, 1660 (1984).
- [11] P.G. de Gennes, J. Prost. *The physics of liquid crystals*. Oxford Univ. Press, Oxford (1995). 400 p.
- [12] J.L. Ericksen. *Arch. Ration. Mech. Anal.* **4**, 231 (1960).
- [13] F.M. Leslie. *Arch. Ration. Mech. Anal.* **28**, 265 (1968).
- [14] С. Гроот, П. Мазур. *Неравновесная термодинамика*. Мир, М. (1964). 456 с.
- [15] N.V. Madhusudana, R.B. Ratibha. *Mol. Cryst. Liq. Cryst.* **132**, 339 (1986).
- [16] A.G. Chmielewski. *Mol. Cryst. Liq. Cryst.* **132**, 339 (1986).
- [17] M. Marinelli, A.K. Ghosh, F. Mercury. *Phys. Rev. E* **63**, 061713 (2001).
- [18] P. Jamee, G. Pitsi, J. Thoen. *Phys. Rev. E* **66**, 021707 (2002).
- [19] A.V. Zakharov, A.A. Vakulenko. *Phys. Rev. E* **86**, 031701 (2012).
- [20] I.-C. Khoo, S.-T. Wu, *Optics and Nonlinear Optics of Liquid Crystal*. World Scientific, Singapore (1993). P. 59.
- [21] R.S. Акопян, R.B. Alaverdian, E.A. Santrosian, Y.S. Chilingarian. *J. Appl. Phys.* **90**, 3371 (2001).
- [22] И.С. Березин, Н.Р. Жидков. *Методы вычислений*. Физматгиз, М. (1964). 464 с.
- [23] А.А. Самарский, Е.С. Николаев. *Методы решения сеточных уравнений*. Наука, М. (1978) 592 с.

Редактор Ю.Э. Кутаев